

$\Rightarrow$  la corrente carica, che si accoppia al bosone  $W$  carico, ha una struttura  $V + A$ ,

$V \rightarrow$  corrente vettoriale  $\bar{\psi} \gamma^\mu \psi \xrightarrow{P} \eta^{\mu\nu} \bar{\psi} \gamma^\nu \psi$

$A \rightarrow$  corrente assiale  
(i.e. pseudo-vettore)  $\bar{\psi} \gamma^\mu \gamma^5 \psi \xrightarrow{P} -\eta^{\mu\nu} \bar{\psi} \gamma^\nu \gamma^5 \psi$

Guardando ora la parte neutra e sostituendo

$Z_\mu$  e  $A_\mu$ :

$$\begin{aligned} L_{int} &= -g_2 (W_\mu^+ J_w^{-\mu} + W_\mu^- J_w^{+\mu}) \\ &\quad -g_2 (\cos \theta_w Z_\mu + \sin \theta_w A_\mu) J_w^{3\mu} \\ &\quad -g_1 (-\sin \theta_w Z_\mu + \cos \theta_w A_\mu) (J_{em}^\mu - J_w^{3\mu}) \end{aligned}$$

$$= -g_2 (W_\mu^+ J_w^{-\mu} + W_\mu^- J_w^{+\mu})$$

$$- \frac{g_2}{\cos \theta_w} Z_\mu (J_w^{3\mu} - \sin^2 \theta_w J_{em}^\mu)$$

$$- g_1 \cos \theta_w A_\mu J_{em}^\mu$$

$$\begin{cases} J_{em}^\mu = -\bar{e} \gamma^\mu e + \frac{2}{3} \bar{u} \gamma^\mu u - \frac{1}{3} \bar{d} \gamma^\mu d \\ J_w^{3\mu} = \frac{1}{2} \bar{\nu}_e \gamma^\mu \frac{1+\gamma^5}{2} \nu_e - \frac{1}{2} \bar{e} \gamma^\mu \frac{1+\gamma^5}{2} e \\ \quad + \frac{1}{2} \bar{u} \gamma^\mu \frac{1+\gamma^5}{2} u - \frac{1}{2} \bar{d} \gamma^\mu \frac{1+\gamma^5}{2} d \end{cases}$$

⇒ la costante di accoppiamento elettromagnetica

$$\bar{e}: \quad \underline{e = g_1 \cos \theta_w = g_2 \sin \theta_w}$$

Inoltre la corrente debole neutra che si accoppia a Z NON ha una struttura V+A ma ha una struttura più complicata.

### Mixing tra le generazioni

Finora nella descrizione degli accoppiamenti di Yukawa, e delle masse risultanti in seguito al fenomeno di Higgs, abbiamo assunto una sola generazione.

Quando le includiamo tutte e tre le strutture più generale possibile  $\bar{e}$ :

$$\begin{aligned} \mathcal{L}_{\text{Higgs-fermioni}} = & -g_u^{\alpha\beta} \bar{q}_L^{\prime\alpha} \tilde{\Phi} U_R^{\prime\beta} \\ & -g_d^{\alpha\beta} \bar{q}_L^{\prime\alpha} \Phi d_R^{\prime\beta} \\ & \text{"} -g_\nu^{\alpha\beta} \bar{l}_L^{\prime\alpha} \tilde{\Phi} \nu_R^{\prime\beta} \text{"} \\ & -g_e^{\alpha\beta} \bar{l}_L^{\prime\alpha} \Phi e_R^{\prime\beta} \end{aligned} \quad \begin{array}{l} \alpha, \beta = 1, 2, 3 \\ \text{indici di} \\ \text{generazione,} \\ \text{e } i, j \text{ sono} \\ \text{per futura} \\ \text{comodità} \end{array}$$

+ e.c. perché faremo una rotazione. 18

Andando a sostituire  $\Phi = \begin{pmatrix} 0 \\ \nu/\sqrt{2} \end{pmatrix}$  troviamo le masse:

$$\begin{aligned} \mathcal{L}_{\text{mass-fermioni}} = & - \bar{U}'_L{}^\alpha M'_U{}^{\alpha\beta} U'_R{}^\beta \\ & - \bar{d}'_L{}^\alpha M'_d{}^{\alpha\beta} d'_R{}^\beta \\ & \text{"} - \bar{\nu}'_L{}^\alpha M'_\nu{}^{\alpha\beta} \nu'_R{}^\beta \text{"} \\ & - \bar{e}'_L{}^\alpha M'_e{}^{\alpha\beta} e'_R{}^\beta + \text{c.c.} \end{aligned}$$

A questo punto facciamo una rotazione per passare dagli "autostati di flavor" indicati col ' agli "autostati di massa" che sono le particelle fisiche con una massa definita:

$$\frac{\nu}{\sqrt{2}} g_{\star} \equiv M'_{\star} = S_L^{\star} M_{\star} (S_R^{\star})^\dagger, \quad \star = u, d, \nu, e$$

$$U_L = S_L^U U'_L, \quad U_R = S_R^U U'_R \quad \text{e così via...}$$

$S_{L,R}$ : matrici unitarie (per non cambiare il termine cinetico)

$M$ : matrice diagonale, con autovalori reali  $\geq 0$

$$\text{e.g. } M_U = \begin{pmatrix} M_u & 0 & 0 \\ 0 & M_c & 0 \\ 0 & 0 & M_t \end{pmatrix}$$

Ora guardiamo le interazioni con i bosoni di gauge  $A_\mu$ ,  $Z_\mu$  e  $W_\mu^\pm$ . Le correnti che abbiamo visto sono scritte con gli autostati di flavor:

$$\begin{aligned}
 J_{e.m.}^\mu &= \frac{2}{3} \bar{u}'^\alpha \gamma^\mu u'^\alpha - \frac{1}{3} \bar{d}'^\alpha \gamma^\mu d'^\alpha - \bar{e}'^\alpha \gamma^\mu e'^\alpha \\
 &= \frac{2}{3} \bar{u}'_L \gamma^\mu u'_L + \frac{2}{3} \bar{u}'_R \gamma^\mu u'_R + \dots \\
 &= \frac{2}{3} \bar{U}_L^\beta S_L^{U\beta\alpha} \gamma^\mu S_L^{U\alpha\sigma} U_L^\sigma + \dots
 \end{aligned}$$

$\downarrow$   
 $\delta^{\beta\sigma}$

stesse strutture nelle correnti neutre che si accoppia a  $Z_\mu$

$\Rightarrow$  la rotazione agli autostati di massa è banale nelle correnti neutre, prendono la stessa forma nella nuova base.

Qualcosa di più interessante avviene nella corrente carica; consideriamo prima la parte con i quark:

$$\begin{aligned}
 J_W^{-\mu} \Big|_{\text{quark}} &= \frac{1}{\sqrt{2}} \bar{u}'_L \gamma^\mu d'_L \\
 &= \frac{1}{\sqrt{2}} \bar{u}_L^\alpha \gamma^\mu d_L^\beta \underbrace{(S_L^{U\dagger} S_L^d)}_{\equiv V^{\alpha\beta}}
 \end{aligned}$$



L'interazione con  $W_\mu^\pm$  può cambiare flavor!  
L'effetto è controllato dalle matrici unitarie:

$V$  matrice di Cabibbo-Kobayashi-Maskawa  
(CKM)

Nella parte leptonica: se ignoriamo le masse dei neutrini e non includiamo  $\nu_R$ , allora siamo liberi di ridefinire  $\nu_L$  come vogliamo con matrici unitarie.

$$J_W^{-\mu} \Big|_{\text{leptoni}} = \frac{1}{\sqrt{2}} \bar{\nu}_L^\alpha \gamma^\mu e_L^\alpha = \frac{1}{\sqrt{2}} \bar{\nu}_L^\alpha \gamma^\mu e_L^\alpha$$

$$\nu_L = S_L^e \nu_L'$$

$\Rightarrow$  nessun mixing tra leptoni.

Se invece includiamo  $\nu_R$  per tenere conto delle masse abbiamo un mixing del tutto analogo al caso dei quark, con la complicazione addizionale che l'invarianza di gauge permette anche una massa di Majorana:  $M_M^{\alpha\beta} \overline{\nu}_R^{\alpha c} \nu_R^\beta$ .

Se vuoi approfondire: Donoghue Cap. VI.

Oltre al valore nel vuoto, dobbiamo considerare anche le fluttuazioni del campo

di Higgs. Seguiamo Donoghue XV.

Un modo di scriverle potrebbe essere:

$$\bar{\Phi} = \begin{pmatrix} 0 \\ v/\sqrt{2} \end{pmatrix} + \begin{pmatrix} \delta\varphi^+ \\ \delta\varphi^0 \end{pmatrix}$$

$\delta\varphi^{+0}$ : 4 gradi di libertà  
reali

Questo modo di procedere però oscura quali gradi di libertà siano fisici e quali possano essere "riassorbiti" con una trasformazione di gauge (ovvero: trasferiti nei modi longitudinali dei boson massivi).

Una parametrizzazione più trasparente è:

$$\bar{\Phi} = U^{-1}(\chi) \begin{pmatrix} 0 \\ (v + H)/\sqrt{2} \end{pmatrix}$$

$$U(\chi) = e^{i\chi^a \tau^a / v} \in SU(2)$$

Abbiamo comunque 4 campi reali:  $H^0$ ,  $\chi^a$  ma in questo modo è evidente che i  $\chi$  possono essere riassorbiti in una trasformazione di gauge

$$SU(2): \quad \psi_L' = U(\chi)\psi_L$$

$$W_\mu' = U(\chi)W_\mu U(\chi)^{-1} + \frac{i}{g_2} \partial_\mu U(\chi) U(\chi)^{-1}$$

Rimarranno con un singolo bosone di Higgs:  $H$ .

Sostituendo nelle Lagrangiane troviamo il potenziale per  $H_0$ :

$$V(H_0) = \mu^2 H^2 + \lambda v H^3 + \frac{\lambda}{4} H^4 + \text{const.}$$

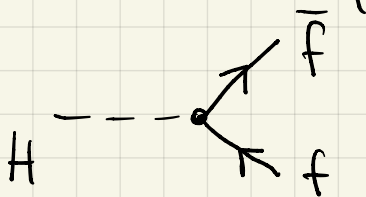
dove:  $\lambda v^2 = \mu^2$

Si come  $H$  ha termine cinetico normalizzato canonicamente:  $\frac{1}{2} \partial_\mu H^2$

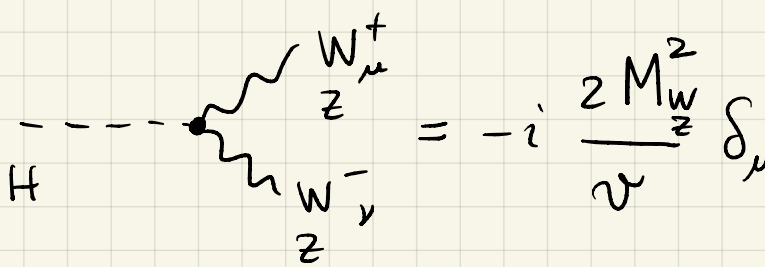
le masse entra come:  $\frac{1}{2} M_H^2 H^2$ , da cui:

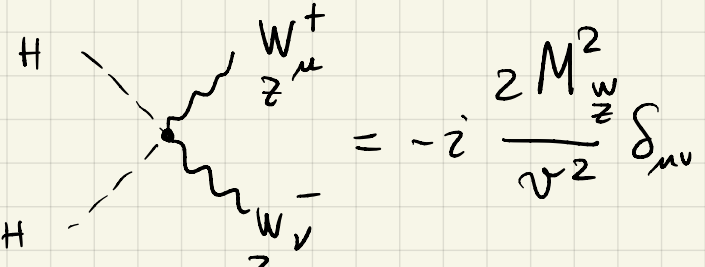
$$M_H = \sqrt{2} \mu$$

Inoltre vediamo che  $H$  ha self-interazioni cubiche e quartiche. Vertici:

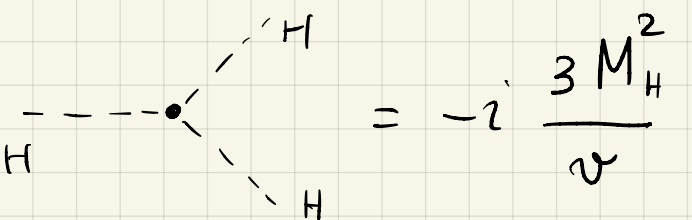


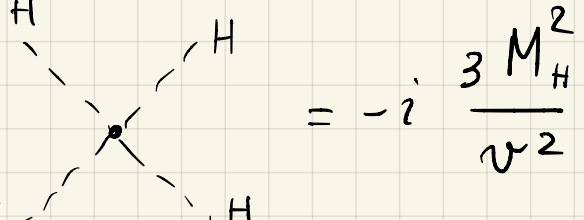
$$= -ig_f = -i \frac{M_f}{v}$$



$$= -i \frac{2M_W^2}{v^2} \delta_{\mu\nu}$$


$$= -i \frac{2M_W^2}{v^2} \delta_{\mu\nu}$$



$$= -i \frac{3M_H^2}{v}$$


$$= -i \frac{3M_H^2}{v^2}$$